

- [3] D a l v e n R. // Infrared Phys. 1969. V. 9.
N 4. P. 141-184.
- [4] S o k o l o s k i M.M., F a n g P.H. // Phys. Lett. 1965. V. 16. N 3. P. 222-223.
- [5] Воронкова Е.М., Гречушников Б.Н.,
Дистлер Г.И., Петров И.П. Оптические материалы для инфракрасной техники. М., 1965. 336 с.
- [6] Полупроводники / Под ред. Н.Б. Хеннея. М., 1962. 668 с.
- [7] S c a n l o n W.W. // Sol. State Phys. 1959.
V. 9. P. 83-137.
- [8] W a t a n a b e N. // Jap. J. Appl. Phys.
1964. V. 3. N 3. P. 166.
- [9] K a n a i Y., S h o h n o K. // Jap. J. Appl. Phys. 1963. V. 2. N 1. P. 6-10.
- [10] B u l a n d e r E.G., H a a s M. // Sol. State Commun. 1966. V. 4. N 1. P. 51-53.
- [11] Гутенев М.С., Блинов Л.Н. // Физ. и хим. стекла. 1982. Т. 8. № 4. С. 439-444.
- [12] Якшин М.М. // Изв. сектора платины ИОНХ АН СССР. 1945. Т. 18. С. 77-93.
- [13] Браун В. Диэлектрики. М., 1961. 328 с.

Поступило в Редакцию
13 марта 1991 г.

Письма в ЖТФ, том 17, вып. 7
05;
05; 07; 09

12 апреля 1991 г.

© 1991

ЗОНДИРОВАНИЕ ПОЛЯ МАГНИТОСТАТИЧЕСКИХ
СПИНОВЫХ ВОЛН МЕТОДОМ ОТКЛИКА
НА ЛОКАЛЬНЫЕ ФОТОИНДУЦИРОВАННОЕ ВОЗМУЩЕНИЕ

Н.И. Ляшенко, М.Ю. Хвастухин,
С.В. Яковлев

Методы визуализации магнитостатических спиновых волн (MCB), распространяющихся в эпитаксиальных феррит-гранатовых пленках, с использованием подвижных магнитоиндукционных зондов исследованы в [1, 2]. В [3, 4] описываются оптические методы визуализации, основанные на модуляции зондирующего луча света при магнитооптическом взаимодействии с полем MCB. Перечисленные выше методы используют воздействие поля волны на зонд, который рассматривается невозмущающим (пассивное зондирование).

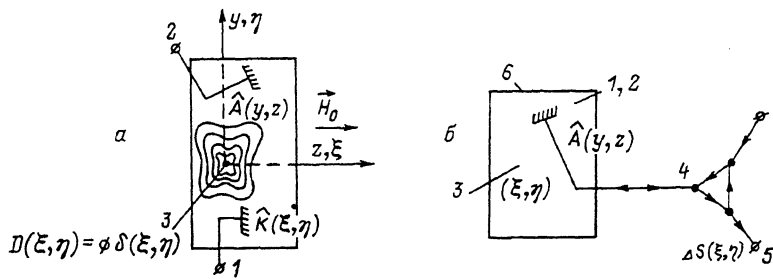


Рис. 1. а) Принцип активного зондирования пространственного распределения поля МСВ путем регистрации отклика на локальное фотоиндукционное возмущение. б) Реализация метода с применением двунаправленного антенного преобразователя. 1 – возбудитель, 2 – приемная апертура, 3 – фотоиндукционная неоднородность, 4 – циркулятор, 5 – выходной сигнал, исследуемая структура.

В настоящей работе исследуется метод визуализации МСВ, основанный на локальном возмущении поля волны светом и регистрации отклика системы (активное зондирование).

При возмущении изменение уровня выходного сигнала зависит от амплитуды волны в зондируемой точке и дает возможность путем перемещения неоднородности, создаваемой локальным возмущением, снимать образ пространственного распределения поля волны. Локальное возмущение поля МСВ (рис. 1) создается путем освещения поверхности волноведущей эпитаксиальной пленки железо-иттриевого граната (ЖИГ) сфокусированным подвижным лучом $He-Cd$ лазера.

Длина волны излучения лазера $\lambda = 0.44 \text{ мкм}$ выбрана из условий образования локализованного возмущения для МСВ, возникающего за счет изменения свойств феррита под действием пучка лазера. В нашем случае неоднородность с эффективным диаметром d мала по сравнению с длиной волны МСВ, что эквивалентно частичному „выкальванию“ точки волнового фронта. В отсутствии локального возмущения распределение поля (рис. 1) в точке описывается выражением

$$\psi(y, z) = \frac{d}{4\pi} \int_{-\infty}^{\infty} \phi(k_z) \hat{k}(\xi, \eta) \exp[i k_y (\xi - y) + i k_z (\xi - z)] dk_z, \quad (1)$$

где $\phi(k_z)$ – функция точечного источника, определяемая видом дисперсии, $\hat{k}(\xi, \eta)$ – комплексная амплитуда волны. Изменение уровня выходного сигнала, принимаемого антенной и связанного с возмущением в точке, определяется выражением

$$\Delta S(\xi, \eta) = -\alpha \iint_A \psi(y, z) \hat{A}(y, z) dy \cdot dz, \quad (2)$$

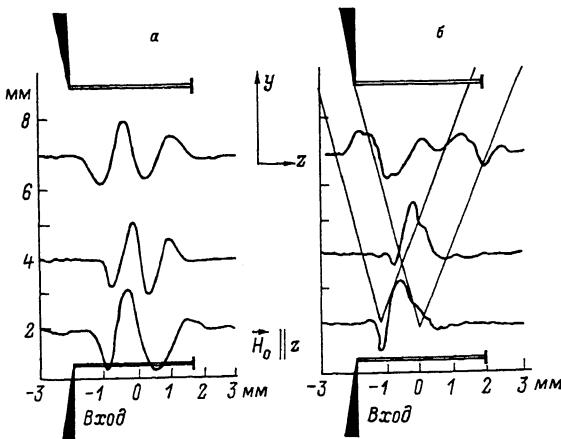


Рис. 2. а) Производная пространственного распределения поля поверхности MCB в линии задержки с двумя идентичными микрополосковыми преобразователями при различных частотах: а - $f = 3960$ МГц, б - $f = 4050$ МГц, пленка иттриевого феррограната с толщиной $h = 11.3$ мкм, $4\pi M_s = 1700$ Гс.

где $\hat{A}(y, z)$ - комплексная апертурная функция антенны, α - эффективность взаимодействия MCB с фотоиндуцированной неоднородностью.

Сигнал, фиксируемый на частоте модуляции лазерного излучения, пропорционален производной от поля MCB. Луч лазера сканируется по поверхности структуры двухкоординатным дефлектором. Выполнив интегрирование (2), получаем двумерное распределение интенсивности поля MCB на поверхности исследуемой структуры.

Предлагаемый метод с применением СВЧ регистрации является простым (за счет отсутствия высокодобротных элементов при традиционных оптических методах).

Чувствительность метода можно оценить соотношением

$$\Delta S/S_0 \approx \alpha \cdot d/D, \quad (3)$$

где d - диаметр пятна, D - апертура волнового пучка MCB.

На рис. 2, а, б представлены осциллограммы сигналов, пропорциональных производной d/dz поля поверхности MCB в линии задержки на микрополосковых преобразователях. На рис. 2, а представлены осциллограммы производных полей MCB на частоте сигнала при малых волновых числах k_z , а на рис. 2, б - на частотах, при которых происходит разделение пучков MCB. Тонкими линиями показано направление движения максимумов производных полей MCB. Эти пучки можно трактовать как независимые групповые моды, описанные в [1].

С п и с о к л и т е р а т у р ы

- [1] В а ш к о в с к и й А.В., С т а л ь м а х о в А.В., Ш а х н а з а р я н Д.И. // Изв. вузов. Физика. 1988. Т. 31. № 11. С. 67-75.
- [2] V i a n n e s N.P. // J. Appl. Phys. 1987. V. 61. N 1. P. 416-426.
- [3] V i a n n e s N.P. // J. Appl. Phys. 1987. V. 62. N 3. P. 972-989.
- [4] S r i n i v a s a n G., P a t t o n C.E. // IEEE Trans. on Magnetics. 1985. V. MAG-21. N 5. P. 1797-1799.

Поступило в Редакцию
25 мая 1990 г.
В окончательной редакции
25 января 1991 г.